



آزمایشات تجربی به منظور بررسی کیفیت سطح و شکاف برش در فرآیند برش کاری

جت آب روی سوپرآلیاژ اینکونل ۷۱۸ و بهینه‌سازی فرآیند

علیرضا برقک^۱، فرشید جعفریان^{۲*}

۱- کارشناس ارشد، مهندسی مکانیک ساخت و تولید، دانشگاه آزاد اسلامی واحد الیگودرز، الیگودرز

۲- استادیار، مهندسی مکانیک، دانشگاه آزاد اسلامی واحد تهران مرکزی، تهران

*تهران، صندوق پستی ۴۶۰۰۰۷۰، farshid.jafarian@gmail.com

چکیده

آلیاژ اینکونل ۷۱۸ با داشتن خواص منحصر به فردی چون سختی زیاد و نقطه ذوب بالا، کاربرد گسترده‌ای در صنایع هوایی و توربین‌سازی یافته است. بدليل همین ویژگی‌ها، عملیات برش اینکونل ۷۱۸ با روش‌های سنتی، دشوار و هزینه بر است. یکی از مناسب‌ترین روش‌ها برای برش آلیاژ اینکونل ۷۱۸، برش کاری با جت آب می‌باشد. زیری سطح و مشخصات هندسی شکاف برش، از پارامترهای بسیار مهم در فرآیند برش کاری به شمار می‌آیند. این پارامترها تاکنون در فرآیند برش کاری اینکونل ۷۱۸ با جت آب به طور گستره مورد بررسی قرار نگرفته‌اند. در این تحقیق بررسی برش آلیاژ اینکونل ۷۱۸ توسط عملیات برش جت آب صورت پذیرفت و سپس اثر پارامترهای برش کاری جت آب شامل سرعت برش، فشار آب، و مقدار ریزش مواد ساینده بر روی زیری سطح و مشخصات هندسی شکاف برش، با استفاده از آزمایشات تجربی و سیستم‌های هوشمندی چون شبکه عصبی مصنوعی مورد بررسی قرار گرفت. نتایج به دست آمده حاکی از دقیقت بالای مدل ارائه شده در تخمین زیری سطح، مشخصات هندسی و پهنای شکاف برش بود.

کلید واژگان: اینکونل ۷۱۸، جت آب، برش کاری، شبکه عصبی مصنوعی

Experimental investigations in order to evaluate the kerf and surface roughness in the water jet cutting process of Inconel 718 superalloy and process optimization

Alireza Barghak¹, Farshid Jafarian^{2*}

1- Department of Mechanical Engineering, Islamic Azad University Central Tehran Branch, Tehran, Iran

2- Department of Mechanical Engineering, Islamic Azad University Aligudarz Branch, Aligudarz, Iran

* P.O.B. 44600070 Tehran, Iran, Farshid.jafarian@gmail.com

ABSTRACT

Having unique properties such as high melting point and hardness, Inconel 718 superalloy has been found a widespread application in turbines and aerospace industries. Due to these properties, Inconel 718 superalloy cutting with traditional methods is difficult and costly. Therefore, novel cutting methods such as waterjet cutting have been considered. Geometrical characteristics of the cutting kerf and the surface roughness are important factors in the cutting process. These parameters have not been widely investigated in the water jet cutting of Inconel 718. In this study, Inconel 718 superalloy was cut via water jet, and the effect of cutting parameters including cutting speed, water pressure, and the abrasive flow rate on the cutting kerf width and surface roughness was investigated through experimental investigations and artificial neural network. The results implied the high precision of the model in the estimation of kerf width and surface roughness.

Keywords: Inconel 718, water jet, cutting process, artificial neural network.

سنتی قابل انجام نیست.

برش با جت آب همراه با ذرات ساینده، فرآیندی نوین در برش کاری محسوب شده و یکی از سریع‌ترین فرآیندهای در حال توسعه می‌باشد [۲]. فناوری جت آب، با محیط زیست سازگار بوده، و طیف وسیعی از مواد، قابلیت ماشین‌کاری با این روش را دارند. بسیاری از صنایع، از اتومبیل‌سازی و صنایع هوا- فضا گرفته تا صنایع دارویی و غذایی، از این فرآیند استفاده می‌کنند [۴]. در این فرآیند، با استفاده از فشار زیاد، جریان سریعی از آب ایجاد می‌شود. جت آب به وجود آمده هنگامی که با ذرات ساینده مخلوط شود قابلیت برش گستره وسیعی از مواد دارای سختی‌های متفاوت را پیدا می‌کند [۵]. برخی از این ویژگی‌ها عبارتند از: عدم تنفس یا تغییر شکل حرارتی در قطعه کار، سرعت بالای برش کاری، امکان برش محدوده وسیعی از ضخامتها

-۱ مقدمه

آلیاژ‌های اینکونل، خانواده‌ای از سوپرآلیاژ‌های پایه آهن- نیکل هستند که محدوده وسیعی از ترکیب‌ها و خواص را در بر می‌گیرند. سوپرآلیاژ اینکونل ۷۱۸، یک آلیاژ رسوب سخت شونده است که علاوه بر آهن و نیکل حاوی مقادیر قابل توجهی کرم، نیوبیم و مولبیدن می‌باشد. همچنین عناصر جزئی مانند آلومینیم و تیتانیم در ترکیب این آلیاژ وجود دارد [۱]. سوپرآلیاژ اینکونل ۷۱۸ با داشتن ویژگی‌های منحصر به فردی همچون دمای ذوب بالا، مقاومت بالا در برابر سایش و خوردگی، عمر بالای خستگی و قابلیت حفظ استحکام در دماهای بالا، کاربرد گسترده‌ای در صنایع هوایی، صنایع نظامی و صنایع ساخت توربین‌های گازی دارد [۲]. بدليل سختی بالا قابلیت برش- کاری سوپرآلیاژ اینکونل ۷۱۸ از جنبه‌های مختلف دشوار بوده و با روش‌های

Please cite this article using:

A. Barghak , F. Jafarian, Experimental investigations in order to evaluate the kerf and surface roughness in the water jet cutting process of Inconel 718 superalloy and process optimization, *Modares Mechanical Engineering, Proceedings of the Advanced Machining and Machine Tools Conference*, Vol. 15, No. 13, pp. 421-425, 2015 (in Persian) (فارسی)

برای ارجاع به این مقاله از عبارت ذیل استفاده نمایید:

A. Barghak , F. Jafarian, Experimental investigations in order to evaluate the kerf and surface roughness in the water jet cutting process of Inconel 718 superalloy and process optimization, *Modares Mechanical Engineering, Proceedings of the Advanced Machining and Machine Tools Conference*, Vol. 15, No. 13, pp. 421-425, 2015 (in Persian) (فارسی)

تعداد ۳۲ قطعه استوانه‌ای شکل از اینکوئنل ۷۱۸ با مشخصات جدول ۱ تهیه و جهت یکسان‌سازی ابعاد، تمامی نمونه‌ها، تا رسیدن به قطر ۲۴ میلی‌متر، ماشین‌کاری شدند. جهت جلوگیری از خطاهای احتمالی برش کاری، یک فیکسچر مناسب ساخته شده و قطعات جهت برش کاری در فیکسچر قرار داده شدند.

۲-۲- برش کاری

برش کاری به وسیله دستگاه جت‌آب با قطر اریفیس نازل ۰/۳۵ میلی‌متر، طول نازل ۷۶ میلی‌متر و ذرات ساینده با مش ۸۰ صورت پذیرفت (شکل ۱).

طول مسیر برش کاری ۲۰ میلی‌متر، عمود بر قطر، در نظر گرفته شد. آزمایشات به روش تاگوچی طراحی و اجرا شدند تا بهترین سطح پارامترها تعیین شوند. از عوامل مهم و موثر در شکل هندسی و کیفیت سطح، با توجه به مطالعات پیشین، سه پارامتر سرعت، فشار و مقدار ریزش مواد ساینده بیشترین اثر را در تغییر شکل هندسی و کیفیت سطح دارا می‌باشد. در این مطالعه اثر سرعت و فشار آب و نرخ ریزش مواد ساینده همان‌گونه که در جدول شماره ۲ مشاهده می‌گردد بر پارامترهای خروجی مورد بررسی قرار گرفت. به منظور کاهش تعداد آزمایش‌ها، از روش تاگوچی در چهار سطح استفاده شد. روش تاگوچی روشنی معمول برای کاهش تعداد و هزینه آزمایشات تجربی است.

پهنهای شکاف برش به وسیله میکروسکوپ با بزرگنمایی ۵۰ اندازه‌گیری شد. اختلاف اندازه پهنهای بالا و پایین شکاف جهت تعیین اندازه انحراف شکاف محاسبه گردید (شکل ۲). تغییر اندازه انحراف موجب تغییر هندسه برش می‌شود.

در این پژوهش، زبری سطح به عنوان شاخصی از کیفیت برش مورد مطالعه قرار گرفت. پس از اندازه‌گیری شکاف برش، زبری سطح مقطع برش-کاری شده اندازه‌گیری شد. در ادامه، با بکارگیری سیستم‌های هوشمند و استفاده از نتایج بدست آمده در جدول ۳ به بررسی ارتباط بین پارامترهای ماشین‌کاری و زبری سطح، اندازه پهنهای برش و انحراف برش در فرآیند برش-کاری سوپر آلیاژ اینکوئنل ۷۱۸ پرداخته شد.

جدول ۱ درصد عناصر تشکیل دهنده اینکوئنل ۷۱۸

عناصر تشکیل									
P	Si	Al	Ti	Nb	Mo	Cr	Fe	Ni	دهنده
۰/۰۲	۰/۰۵	۰/۴۵	۱/۰۸	۵/۰۷	۲/۷۲	۱۷/۹۳	۱۹/۰۴	۵۳/۵۹	درصد

جدول ۲ پارامترهای موثر در برش کاری جت آب

پارامترها				
سطح ۱ سطح ۲ سطح ۳ سطح ۴				
۳۴۰۰	۳۲۰۰	۳۰۰۰	۲۸۰۰	فشار جت آب (bar)
۲۵	۲۰	۱۵	۱۰	سرعت پیش‌روی (mm/min)
۴۰۰	۳۰۰	۲۰۰	۱۰۰	نرخ ریزش ذرات ساینده (gr/min)



شکل ۱ دستگاه جت آب مورد استفاده

با تلاش قابل قبول، کنترل راحت، قابلیت تبدیل به سیستم خودکار، برنامه‌ریزی و تنظیم فوق العاده سریع دستگاه و عدم نیاز به گیره‌بندی حین برش کاری [۷,۶].

برای دستیابی به پارامترهای خروجی مناسب، در طی فرآیند برش کاری جت‌آب همراه با ذرات ساینده، تنظیم پارامترهای ورودی ضروری است. کارایی فرآیند برش کاری جت‌آب همراه با ذرات ساینده اغلب براساس عمق برش، مشخصات شکاف برش^۱ و مشخصات سطح براده‌برداری ارزیابی می‌شود. کیفیت سطح در بسیاری از فرآیندهای ماشین‌کاری به عنوان یکی از مشخصه‌های بارز در نظر گرفته می‌شود [۳]. در برش کاری جت‌آب همراه با ذرات ساینده چندین پارامتر بر روی کیفیت سطح موثراند، که از این میان فشار جت‌آب، سرعت پیش‌روی، و نرخ ریزش ذرات ساینده، جزء پارامترهای قابل کنترل محسوب می‌شوند، که امکان کنترل دقیق آن‌ها وجود دارد [۸,۳].

پژوهش حاضر، در راستای بهبود مشخصات هندسی شکاف برش و کاهش ماشین‌کاری ثانویه در فرآیند برش با جت‌آب همراه با ذرات ساینده، برروی سوپر آلیاژ اینکوئنل ۷۱۸ صورت گرفته است. در این پژوهش، مشخصات هندسه شکاف برش، شامل عرض بالا و اختلاف اندازه عرض بالا و پایین (انحراف)، به عنوان عوامل تعیین کننده در کیفیت برش در فرآیند برش کاری جت‌آب همراه با ذرات ساینده مورد مطالعه قرار گرفته‌اند. همچنین فشار آب، سرعت پیش‌روی و نرخ ریزش ذرات ساینده به عنوان پارامترهای قابل کنترل موثر بر روی مشخصات هندسه شکاف در نظر گرفته شده اند.

در سال‌های اخیر مطالعاتی به منظور مدل‌سازی و بهینه‌سازی پارامترهای فرآیند ماشین‌کاری بر روی اینکوئنل ۷۱۸ صورت گرفته است [۱۱]. کایداس و هاسکالیک از شبکه عصبی مصنوعی و مدل رگرسیون برای پیش‌بینی زبری سطح در فرآیند ماشین‌کاری با جت‌آب ساینده استفاده کردند [۹]. حسین و همکارانش برای بررسی و پیش‌بینی ارتباط بین شکافهای ماشین‌کاری و زبری سطح در حین فرز کاری اینکوئنل ۷۱۸ از شبکه عصبی مصنوعی استفاده کردند. آن‌ها گزارش کردند که عملکرد شبکه عصبی از لحاظ همخوانی با داده‌های تجربی خوب بوده است. در نهایت چنین نتیجه گرفته‌اند که این مدل می‌تواند برای آنالیز و پیش‌بینی ارتباط پیچیده بین شرایط برش کاری و زبری سطح در عملیات برش کاری فلزات و برای بهینه‌سازی زبری سطح جهت تولید کارآمد و بهصرفه به کار رود [۱۲]. با این وجود، بیشتر این مطالعات محدود به برخی شرایط خاص و یا دارای محاسبات پیچیده هستند. در مطالعه پیش‌رو، با استفاده از جمع‌آوری داده‌های آزمایشگاهی و بهینه‌سازی آن با استفاده از یک روش ساده اما کارآمد برای بدست آوردن شرایط بهینه برش کاری برای رسیدن به کیفیت سطح و شکل هندسی مناسب ارایه شده است.

۲- آزمایشات تجربی

در این بخش اقدامات صورت پذیرفته جهت بررسی زبری سطح، اندازه پهنهای برش، و انحراف برش در فرآیند برش کاری جت‌آب روی سوپر آلیاژ اینکوئنل ۷۱۸، شامل مراحل آماده‌سازی، برش کاری و اندازه‌گیری زبری سطح، پهنهای برش و انحراف برش، که اختلاف بین بیشترین اندازه پهنهای برش با کمترین اندازه پهنهای همان برش است مطرح شده است.

۲- آماده سازی نمونه ها

1. Kerf

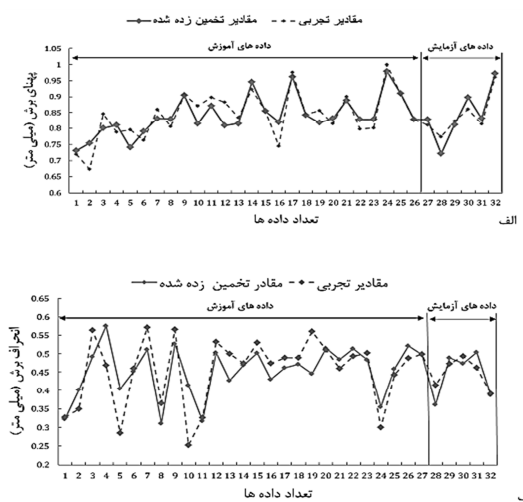
کیفیت برش در فرآیند برش کاری اینکوئل ۷۱۸، از شبکه‌ی عصبی مصنوعی به عنوان یک مدل پیشگویانه استفاده شد. بدین منظور نرم‌افزار مطلب به کار گرفته شد.

در نهایت شبکه‌های عصبی با ساختار دو لایه پنهان شامل ۵ نورون در لایه پنهان اول و ۴ نورون در لایه پنهان دوم برای پنهانی شکاف، دو لایه پنهان شامل ۷ نورون در لایه پنهان اول و ۵ نورون در لایه پنهان دوم برای انحراف، و یک لایه پنهان شامل ۱۹ نورون برای زبری سطح، برمنای کمترین خطای آزمایش^۱ انتخاب شد.

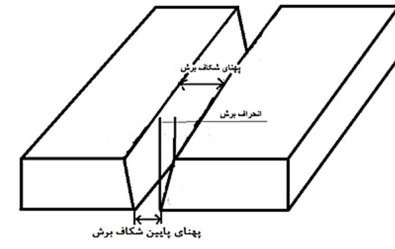
همچنینتابع انتقال تنسیگ^۲، تنسیگ^۳، لگسیگ^۴ برای پنهانی برش و انحراف و تابع انتقال تنسیگ، لگسیگ برای زبری سطح انتخاب شد. (جدول ۴) در شکل ۳ نیز مقایسه‌ای بین داده‌های تجربی و داده‌های پیش‌بینی شده شامل داده‌های آموژش و داده‌های آزمایش صورت پذیرفته است. همان‌طور که مشاهده می‌گردد، اختلاف بین مقادیر تجربی و پیش‌بینی شده توسط شبکه‌ی عصبی در مجموعه داده‌های آموژش و آزمایش نسبتاً ناچیز می‌باشد. که این بیانگر آموژش صحیح و به اندازه‌ی شبکه‌ی عصبی می‌باشد.

۴- تخمین میزان پارامترهای خروجی

بعد از ارائه یک مدل پیشگویانه مناسب از فرآیند، با استفاده از شبکه‌ی عصبی به بررسی تاثیر پارامترهای برش کاری بر میزان پنهانی خروجی در فرآیند برش کاری اینکوئل ۷۱۸ شامل پنهانی برش، انحراف و زبری سطح پرداخته شد.



شکل ۳ مقایسه‌ی بین نتایج تجربی و نتایج خروجی از شبکه‌ی عصبی. الف. پنهانی برش. ب. انحراف برش. ج. زبری سطح



شکل ۲ مشخصات هندسی شکاف برش

جدول ۳ مقادیر پارامترهای ورودی و خروجی در هر آزمایش

پارامترهای ورودی						
فشار	سرعت	نحوه برش	مشکل	انحراف	زبری سطح	پارامترهای خروجی
mm	mm/min	gr/min	mm	mm	mm	
۲/۱۸	۰/۳۲۶	۱/۵۱۶	۱۰۰	۱۰	۲۸۰۰	۱
۲/۴۵	۰/۳۴۹	۱/۴۱۸	۲۰۰	۱۵	۲۸۰۰	۲
۲/۲۹	۰/۵۶۳	۱/۷۸۳	۳۰۰	۲۰	۲۸۰۰	۳
۲/۵۶	۰/۴۶۸	۱/۶۶۰	۴۰۰	۲۵	۲۸۰۰	۴
۲/۲۲	۰/۴۱۴	۱/۵۳۰	۱۰۰	۱۰	۳۰۰۰	۵
۲/۳	۰/۲۸۵	۱/۶۷۶	۲۰۰	۱۵	۳۰۰۰	۶
۲/۴۶	۰/۴۶۰	۱/۶۰۸	۳۰۰	۲۰	۳۰۰۰	۷
۲/۴۴	۰/۵۷۱	۱/۸۱۰	۴۰۰	۲۵	۳۰۰۰	۸
۲/۳۰	۰/۳۶۴	۱/۶۹۶	۲۰۰	۱۰	۳۲۰۰	۹
۲/۶۱	۰/۴۷۳	۱/۷۳۳	۱۰۰	۱۵	۳۲۰۰	۱۰
۲/۲۱	۰/۵۶۶	۱/۹۰۸	۴۰۰	۲۰	۳۲۰۰	۱۱
۲/۲۶	۰/۲۵۲	۱/۸۲۶	۳۰۰	۲۵	۳۲۰۰	۱۲
۲/۰۸	۰/۳۲۶	۱/۸۹۲	۲۰۰	۱۰	۳۴۰۰	۱۳
۲/۳۷	۰/۵۲۲	۱/۸۶۰	۱۰۰	۱۵	۳۴۰۰	۱۴
۲/۲۴	۰/۴۹۳	۱/۸۱۴	۴۰۰	۲۰	۳۴۰۰	۱۵
۲/۳۱	۰/۴۹۹	۱/۷۵۷	۳۰۰	۲۵	۳۴۰۰	۱۶
۲/۲۱	۰/۴۷۳	۱/۹۴۴	۴۰۰	۱۰	۲۸۰۰	۱۷
۲/۳۴	۰/۵۳۰	۱/۷۹۹	۳۰۰	۱۵	۲۸۰۰	۱۸
۲/۶۳	۰/۴۷۳	۱/۵۶۸	۲۰۰	۲۰	۲۸۰۰	۱۹
۲/۴۱	۰/۴۶۱	۱/۷۱۴	۱۰۰	۲۵	۲۸۰۰	۲۰
۱/۹۵	۰/۴۸۸	۲/۰۵۶	۴۰۰	۱۰	۳۰۰۰	۲۱
۲/۱۴	۰/۴۸۸	۱/۷۷۸	۳۰۰	۱۵	۳۰۰۰	۲۲
۲/۴۷	۰/۵۶۰	۱/۸۰۳	۲۰۰	۲۰	۳۰۰۰	۲۳
۲/۷۶	۰/۵۱۰	۱/۷۱۶	۱۰۰	۲۵	۳۰۰۰	۲۴
۱/۹۵	۰/۳۹۰	۲/۱۷۵	۳۰۰	۱۰	۳۲۰۰	۲۵
۲/۱۴	۰/۴۵۹	۱/۸۹۶	۴۰۰	۱۵	۳۲۰۰	۲۶
۲/۶۲	۰/۴۹۲	۱/۶۸۰	۱۰۰	۲۰	۳۲۰۰	۲۷
۲/۶۱	۰/۵۰۱	۱/۶۸۷	۲۰۰	۲۵	۳۲۰۰	۲۸
۱/۸۹	۰/۳۰۰	۲/۱۰۷	۳۰۰	۱۰	۳۴۰۰	۲۹
۲/۰۱	۰/۴۴۲	۱/۹۱۲	۴۰۰	۱۵	۳۴۰۰	۳۰
۲/۳۶	۰/۴۸۸	۱/۷۴۲	۱۰۰	۲۰	۳۴۰۰	۳۱
۲/۳۰	۰/۴۹۸	۱/۷۰۶	۲۰۰	۲۵	۳۴۰۰	۳۲

۳- کاربرد سیستم‌های هوشمند

تعیین شرایط مطلوب ماشین کاری به وسیله آزمون تجربی، مشکل و پرهزینه است. شبکه‌های عصبی مصنوعی به عنوان یکی از مهمترین مدل‌های پیشگو، به طور گسترده‌ای برای بررسی و برآورد خروجی فرآیند ماشین کاری در محدوده پارامترهای ورودی مورد استفاده قرار گرفته‌اند. مدل‌های پیشگو در صورت آموژش صحیح قادر هستند خروجی‌های فرآیندهای تولیدی را با دقت مناسبی تخمین بزنند، که این امر علاوه‌بر کاهش هزینه‌های آزمایشات تجربی، منجر به درک جامع تری از فرآیند موردنظر می‌گردد. شبکه‌های عصبی مصنوعی یکی از معروف‌ترین و پرکاربردترین مدل‌های پیشگو هستند که به طور گسترده‌ای مورد استفاده محققین قرار گرفته‌اند [۱۶].

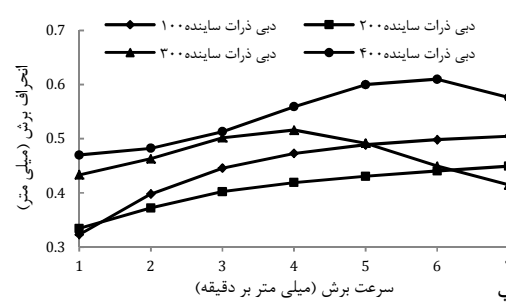
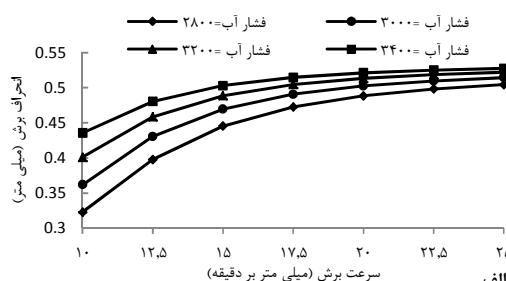
۴- تحلیل نتایج

در این قسمت به منظور تخمین اثر پارامترهای برش کاری مورد بررسی بر

1. Testing error
2. Tansig
3. Logsig

جدول ۴ آموزش شبکه‌ی عصبی منتخب توسط الگوریتم زنیک

پارامترها	تعداد لایه‌ها	تابع انتقال	بهترین برآوردگی	میانگین خطای آزمون	مقدار مطلق خطای آزمون	میانگین خطای آموزش	میانگین خطای آزمون	میانگین خطای آزمون
شکاف برش	۱-۴-۵-۳	tan-tan-log	۰/۰۰۱۲۹	۲/۸۰	۱/۱۵, ۱/۱۸۲, ۳/۶۶, ۱/۰۸, ۰/۲۳-	۱/۱۰	۲/۵۹	۵
انحراف	۱-۵-۷-۳	tan-tan-log	۰/۰۰۵۹۲	۵/۳۷	۵/۰۹-۱, ۱/۵۵, ۴/۹۲, ۵/۶۷, ۷-۷/۷۴-	۵/۰۹	۵	۴/۳۳
زبری سطح	۱-۱۹-۳	tan-log	۰/۰۰۶۹	۲/۲۱	۰/۵۱, ۱, ۱/۴۳, ۰/۰۴-, ۰/۱۰-, ۱/۵۸-	۰/۱۰	۰/۱۳	۰/۱۳

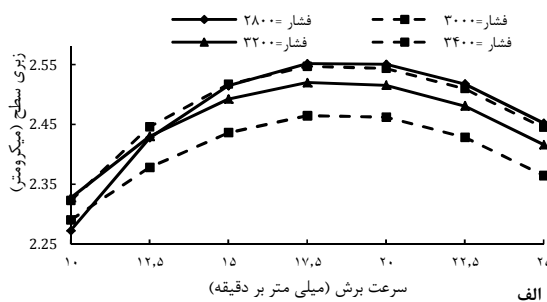


شکل ۵ تخمین انحراف با تغییر سرعت. الف. تاثیر سطوح مختلف فشار آب در پایین ترین دبی (۱۰۰ گرم بر دقیقه) ب. تاثیر مقادیر مختلف ریزش مواد ساینده در پایین ترین فشار (۲۸۰۰ بار)

متفاوت از مقدار ریزش مواد ساینده این‌بار بر روی زبری سطح بررسی شد. همان‌گونه که در شکل ۶ الف مشاهده می‌شود، با افزایش سرعت خطی در فشارهای مختلف، زبری سطح ابتدا افزایش و سپس کاهش یافته است. در فشار ثابت (۲۸۰۰ بار)، هرچه میزان ریزش مواد ساینده افزایش می‌یابد، روند کاهشی نمودار کمتر می‌شود (شکل ۶ب).

۲-۴- بهینه سازی

همخوانی مناسب بین کمترین میزان میزان پیش‌بینی شده توسط شبکه‌ی عصبی و آزمایش جدید صورت پذیرفته، حاکی از کارآمدی مدل استفاده شده در این تحقیق می‌باشد. لذا روش مذکور برای تخمین خروجی(های) سایر فرآیندهای ماشین کاری نیز توصیه می‌گردد.



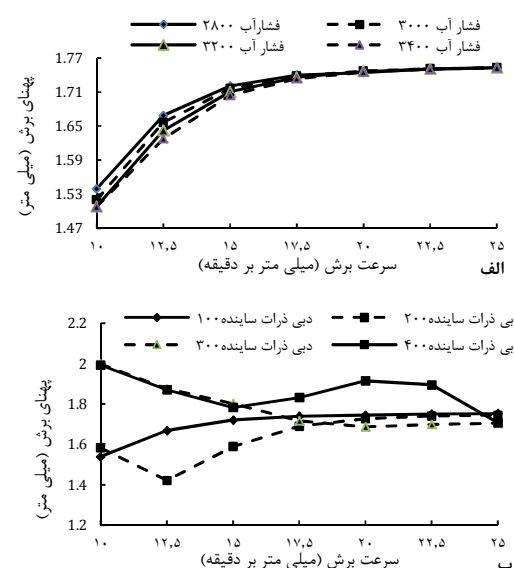
۴-۱-۱- تخمین میزان پهنای برش
در ابتدا اثر تغییرات سرعت بر روی پهنای برش در ۴ سطح متغیر از فشار آب و ۴ سطح متغیر از مقدار ریزش مواد ساینده (دبی) بررسی شد. همان‌گونه که در شکل ۴. الف مشاهده می‌شود، افزایش سرعت در محدوده مورد بررسی (با توجه به پایین بودن محدوده) به حد کاهش پهنای برش نرسیده است. از طرف دیگر به دلیل سخت و شکننده بودن جنس قطعه، افزایش سرعت موجب شیوع و گسترش ترک در قسمت بالای پهنای برش و در نتیجه افزایش پهنای می‌گردد. با افزایش سرعت، اثر فشار کاهش می‌یابد تا جایی که در سرعت‌های بالا، تغییر فشار تاثیری بر پهنای برش ندارد. شکل ۴. ب تاثیر مقدار ریزش مواد ساینده را نشان می‌دهد. در دبی‌های پایین (۱۰۰ و ۲۰۰ گرم بر دقیقه) با افزایش سرعت خطی، پهنای برش به طور کلی افزایش و در دبی‌های بالاتر (۳۰۰ و ۴۰۰ گرم بر دقیقه) کاهش می‌یابد.

۴-۱-۲- تخمین میزان انحراف

در اینجا نیز اثر تغییرات سرعت بر روی انحراف در ۴ سطح متغیر از فشار آب و ۴ سطح متغیر از مقدار ریزش مواد ساینده بررسی شد. همان‌گونه که در شکل ۵. الف مشاهده می‌شود، با افزایش سرعت خطی، عمق نفوذ جت‌آب، کاهش و در نتیجه، انحراف افزایش یافته است. همچنین با افزایش سرعت، تاثیر فشار بر انحراف افزایش می‌یابد. در مقادیر مختلف ریزش مواد ساینده، با افزایش سرعت، انحراف ابتدا افزایش و سپس کاهش می‌یابد (شکل ۵ب).

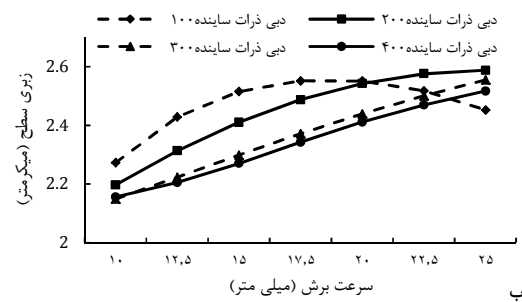
۴-۱-۳- تخمین میزان زبری سطح

بار دیگر اثر تغییرات سرعت در ۴ سطح متغیر از فشار آب و ۴ سطح



شکل ۶ تخمین پهنای برش با تغییر سرعت. الف. تاثیر سطوح مختلف فشار آب در پایین ترین دبی (۱۰۰ گرم بر دقیقه) ب. تاثیر مقادیر مختلف ریزش مواد ساینده در پایین ترین فشار (۲۸۰۰ بار)

- [6] A. Kharagpur, Non conventional machining, lesson 37, *water jet and abrasive water jet machining*, Available at works. bpress.com, 2012.
- [7] ASM Handbook, ASM International, 14, pp. 745-755, 2005
- [8] M. Hashish, Optimization factors in abrasive-water jet machining, *Journal of Manufacturing Science and Engineering*, Vol. 113, NO. 1, pp. 29-37, 1991.
- [9] E. O. Ezugwu, D. A. Fadare, J. Bonney, R.B. Da Silva, W.F. Sales, Modelling the correlation between cutting and process parameters in high-speed machining of Inconel 718 alloy using an artificial neural network, *International Journal of Machine Tools and Manufacture*, Vol. 45, No. 12-13, pp. 1375-1385, 2005.
- [10] U. Çaydaş, A. Hasçalıtk, A study on surface roughness in abrasive water jet machining process using artificial neural networks and regression analysis method, *Journal of Materials Processing Technology*, Vol. 202, No. 1-3, pp. 574-582, 2008.
- [11] M. I. Hossain, A. K. M. Amin, A. U. Patwari, Development of an artificial neural network algorithm for predicting the surface roughness in end milling of Inconel 718 alloy, *Computer and Communication Engineering*, ICCCE 2008.
- [12] H. Amirabadi, K. Khalili, A. Foorginejad, J. Ashoori, Modeling of abrasive water-jet cutting of glass using artificial neural network and optimization of surface roughness using firefly algorithm, *Modares mechanical engineering*, Vol. 13, No. 8, pp. 123-134, 2013. (in Persian)



شکل ۶ تخمین زبری سطح با تغییر سرعت. الف. تاثیر سطوح مختلف فشار آب در پایین ترین دبی (۱۰۰ گرم بر دقیقه) ب. تاثیر مقدار ریزش مواد ساینده در پایین ترین (فشار ۲۸۰۰ بار)

جدول ۵ بهینه‌سازی تک هدفه برای به دست آوردن کمینه‌ی پارامترهای خروجی به صورت جداگانه

پارامترهای ورودی		پارامترهای خروجی			
		نرخ ریزش مواد ساینده g/min	سرعت mm/min	فشار bar	مقدار کمینه
شکاف برش	۱۶۷	۱۰/۳۹	۲۸۰۰	۱/۳۸	
انحراف	۱۴۴/۷	۱۰	۲۸۰۰	۰/۲۹۹	
زبری سطح	۴۰۰	۱۰	۳۴۰۰	۱/۷۲	

۴-۱-۲-۴- بهینه‌سازی تک هدفه^۱

برای رسیدن به کمترین مقدار هر یک از پارامترهای خروجی شامل زبری سطح، انحراف و پهنای برش، بهینه‌سازی پارامترهای ورودی به طور جداگانه توسط شبکه عصبی مصنوعی آموزش دیده انجام شد (جدول ۵).

۵- جمع‌بندی و نتیجه‌گیری

در این تحقیق با استفاده از مطالعات تجربی به بررسی کیفیت سطح و مشخصات هندسی شامل انحراف و پهنای برش در فرآیند برشکاری سوپرآلیاژ اینکونل ۷۱۸ به وسیله جت آب پرداخته شد. با استفاده از طراحی آزمایش تاگوچی، اثر پارامترهای برشکاری شامل فشار آب، نرخ ریزش مواد ساینده و سرعت مورد مطالعه قرار گرفت. در ادامه نیز با استفاده از شبکه عصبی مصنوعی به تخمین میزان زبری سطح، انحراف و پهنای برش پرداخته شد. نتایج بدست آمده حاکی از آن بود که علی رغم پیچیدگی بالا، روش به کار گرفته شده از دقت و کارایی بالایی برخوردار بوده و میزان خطای آموزش و آزمایش پایینی دارد. این امر نشان دهندهی آموزش صحیح و به اندازه‌ی شبکه عصبی می‌باشد.

۶- مراجع

- [1] I. Choudhury, M. El-Baradie, Machinability of nickel-base super alloys: a general review, *Journal of Materials Processing Technology*, Vol. 77, No. 1, pp. 278-284, 1998.
- [2] D. Ulutan, T. Ozel, Machining induced surface integrity in titanium and nickel alloys: A review, *International Journal of Machine Tools and Manufacture*, Vol. 51, No. 3, pp. 250-280, 2011.
- [3] J. J. R.Jegaraj, N. R. Babu, A soft computing approach for controlling the quality of cut with abrasive water jet cutting system experiencing orifice and focusing tube wear, *Journal of materials processing technology*, Vol. 185, No. 1, pp. 217-227, 2007.
- [4] M. Hashish, Abrasive water jet machining of composites. *WJTA (waterjet technology association) Jet news*, Dec, 2008.
- [5] L. P. Connor and R. O'Brien, *Welding Handbook: Welding Technology*, Amer Welding Society, 1987.

1. Single objective optimization